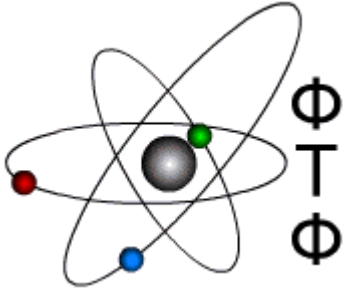




V.N. KARAZIN KHARKIV
NATIONAL UNIVERSITY



2005 Фізико-математичний ліцей при ХНУ ім. В.Н.Каразіна

2009 Бакалавр в прикладній фізиці

2011 Мастер в прикладній фізиці

2011-2014 аспірантура

26/02/2016 кандидат фіз.-мат наук з фізики плазми,

the thesis: “**Extreme ultraviolet radiation from plasma of the high-current pulse diode**”

2020-2022 науковий співробітник ННІ «Фізико-технічний факультет», старший викладач на КШКФ ФКН

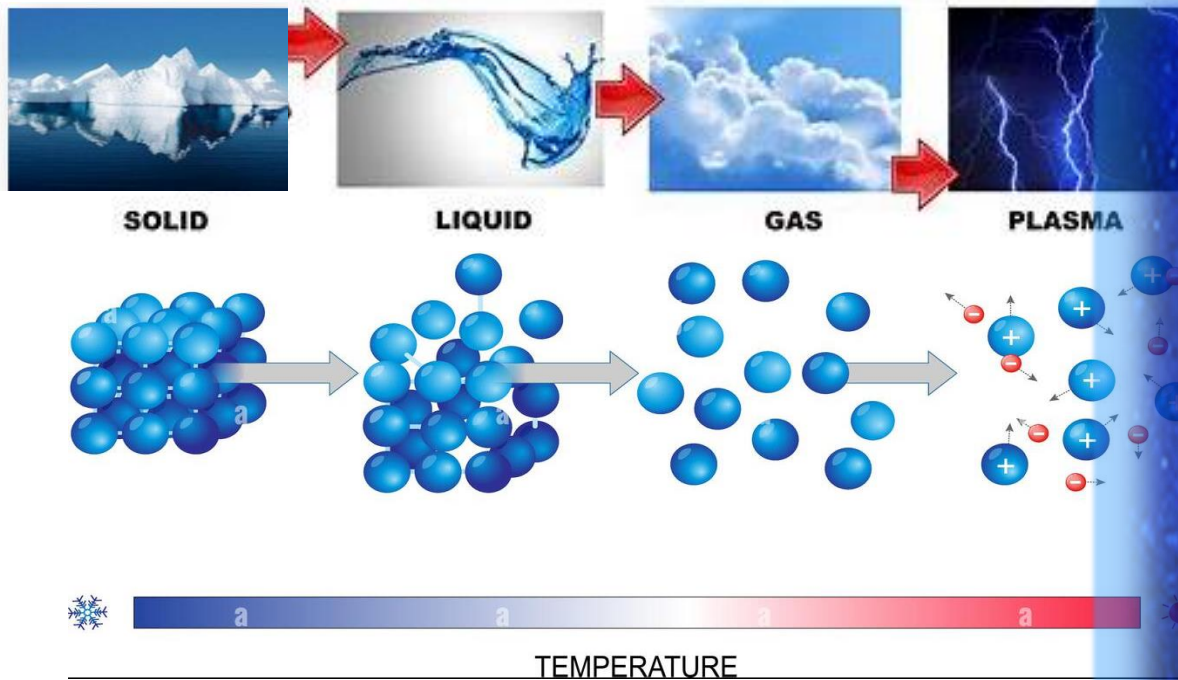
2022-... Post-Doc in EUV plasma source group at ARCNL



Плазма
як джерело світла

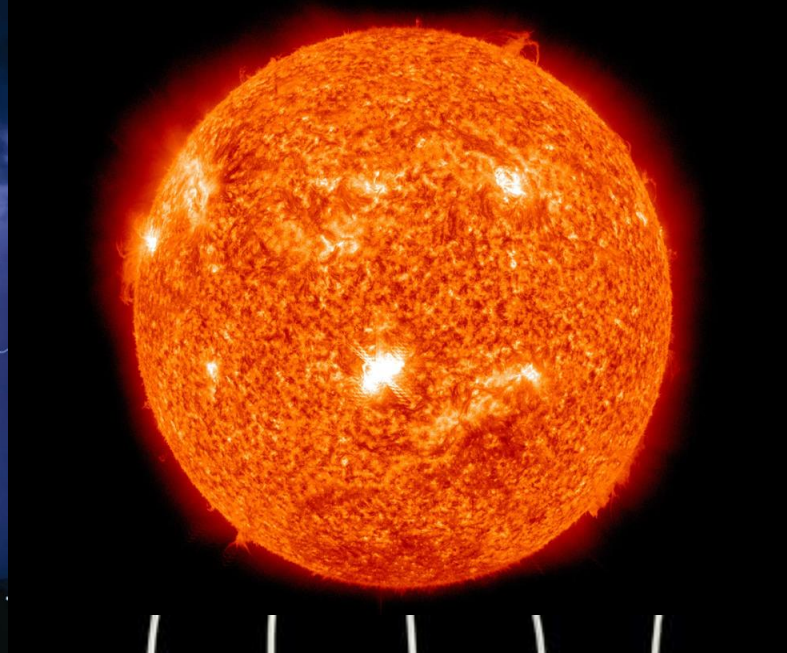


Що таке плазма???



99% нашого Всесвіту – це
ПЛАЗМА!!!

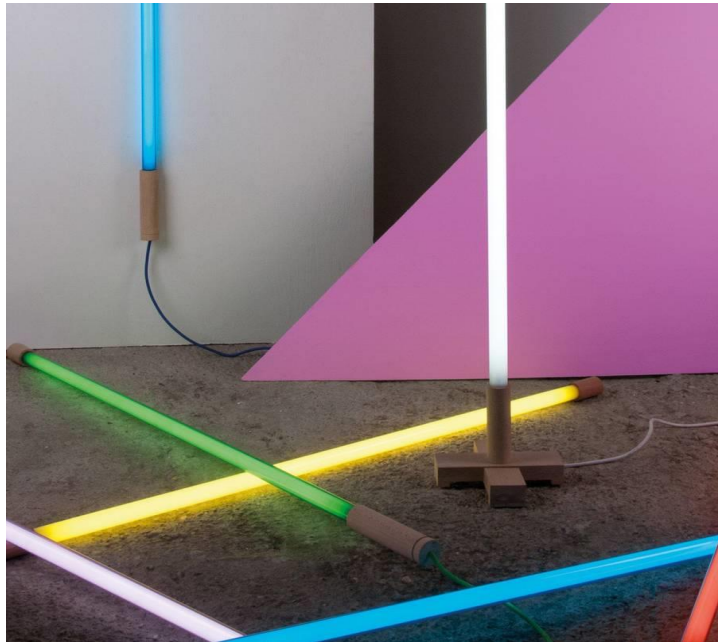
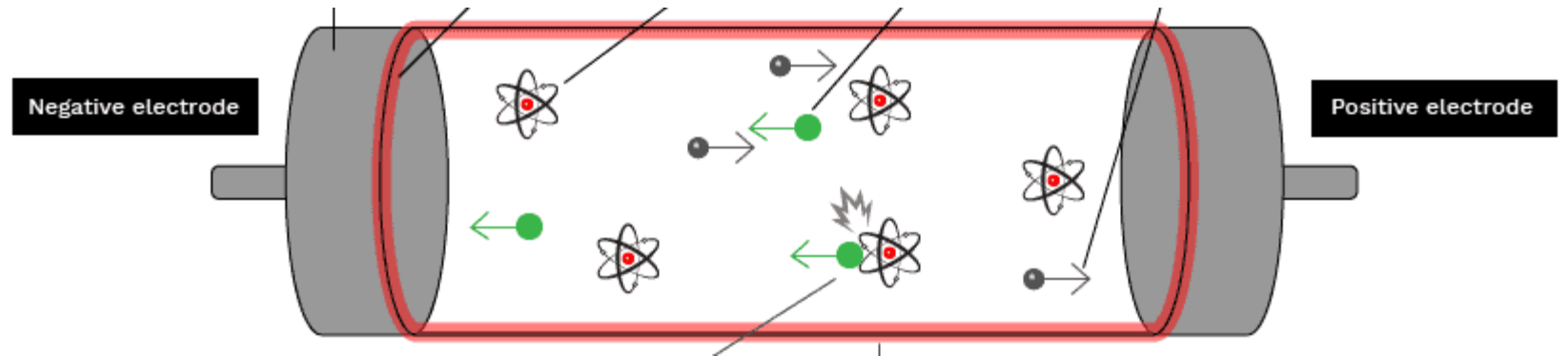
Випромінювання з плазми



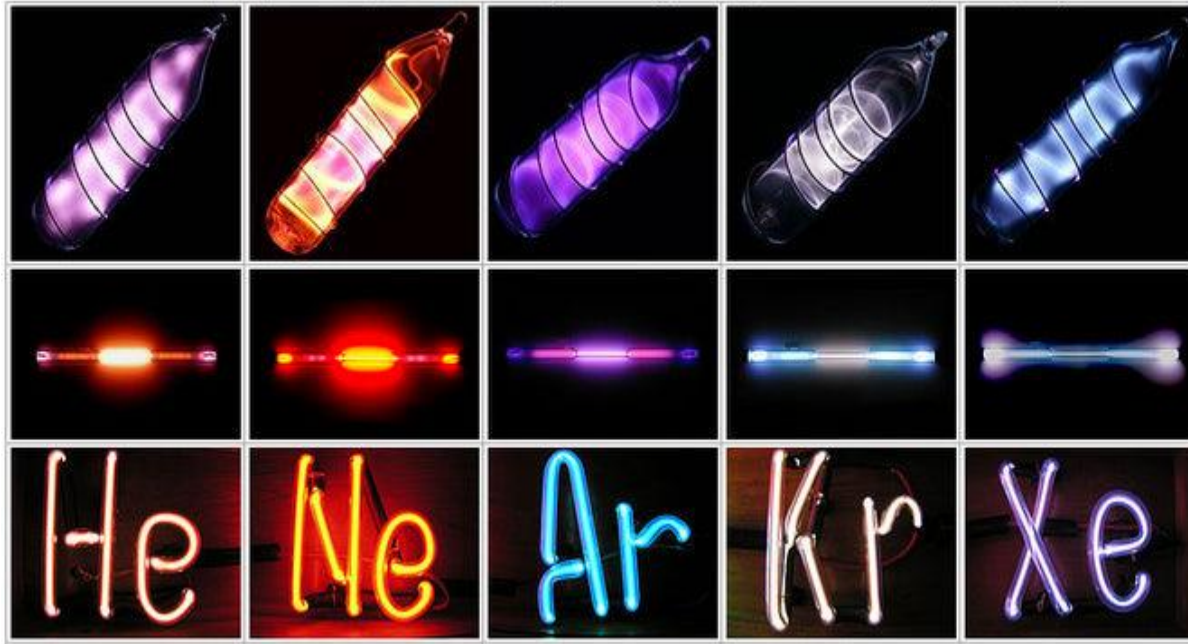
Газоразрядні лампи

Люмінесцентні (флуоресцентні) лампа

Генріх Гайслер
1856

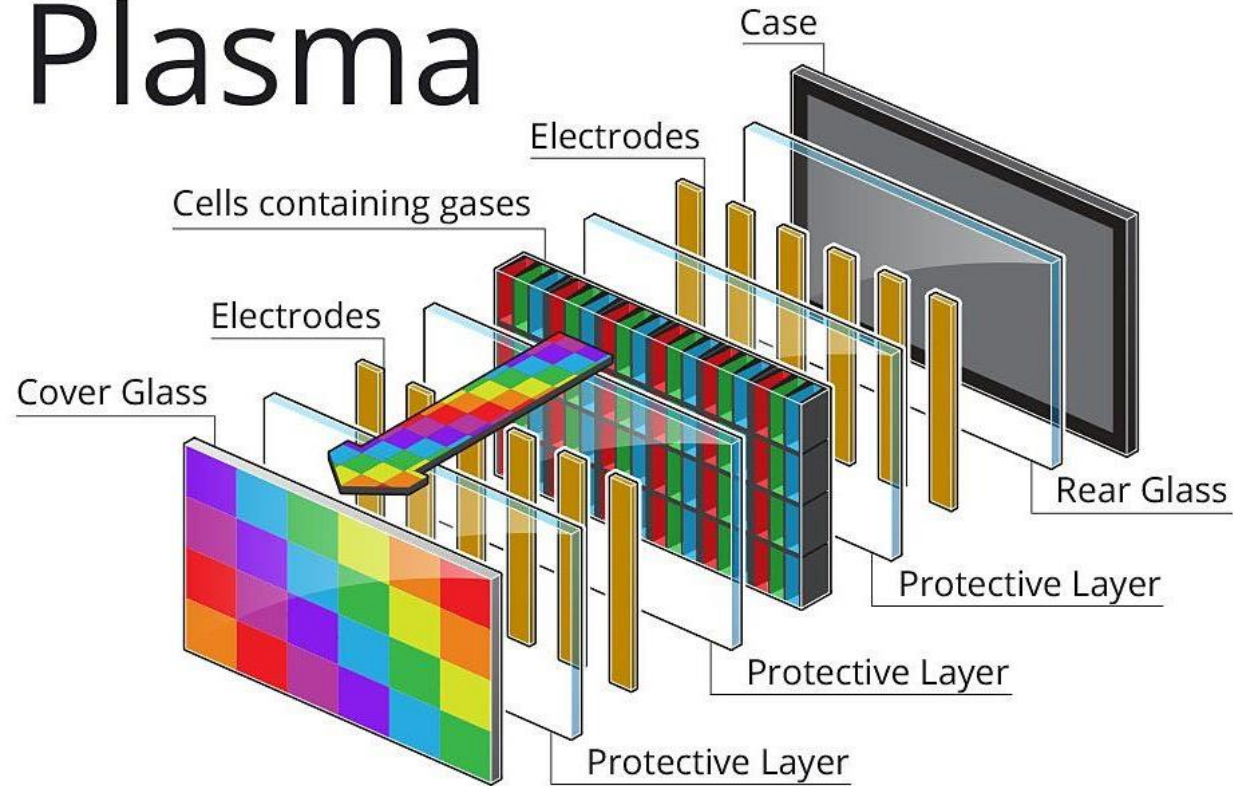


«Благородні» лампи



Плазмові монітори

Plasma

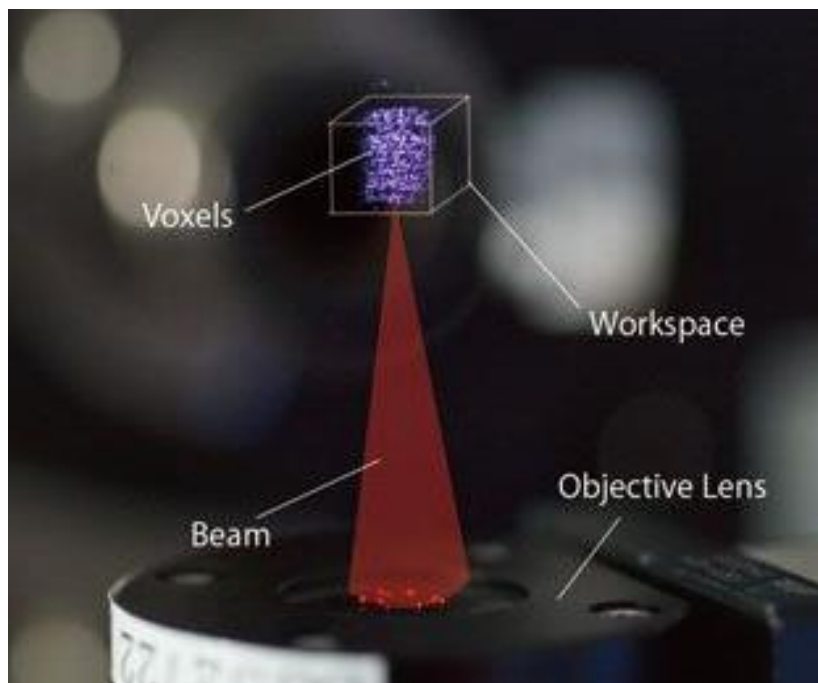


3D Плазмовий дисплей

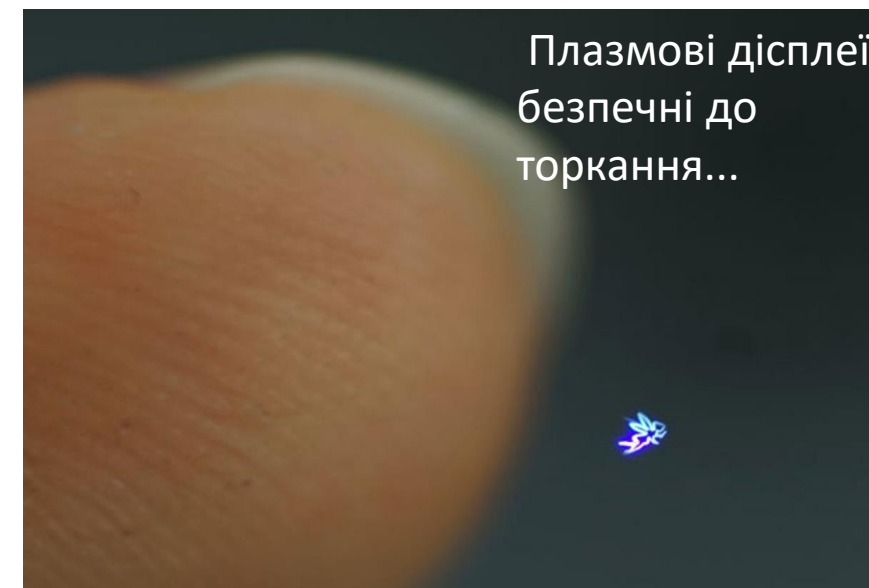
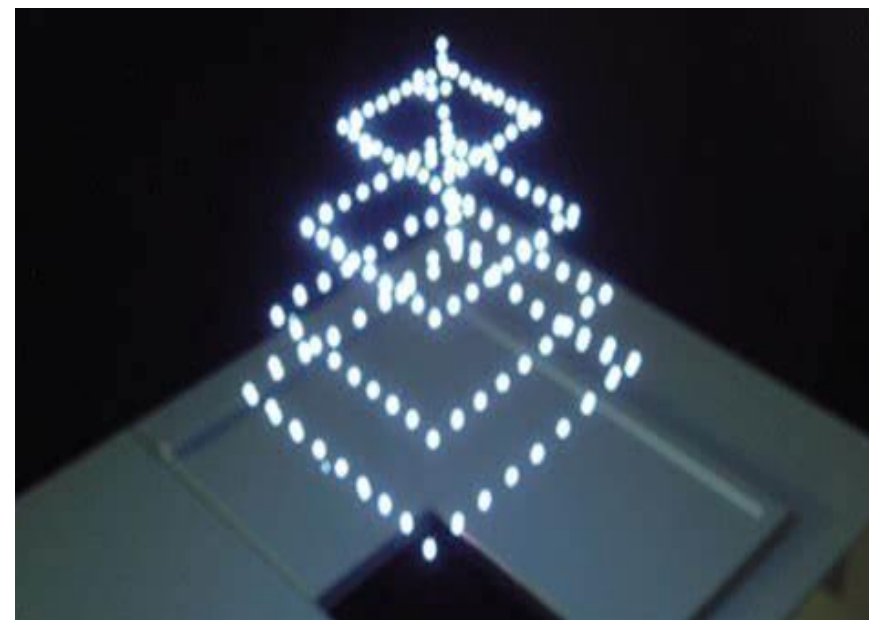
"Aerial Burton" technology

[laser-induced plasma displays](#)

1kW інфрачервоний лазерний імпульс, який фокусується в точку простору через 3D сканер. Та цій точці молекула іонізується, тобто створюється плазма на короткий час.

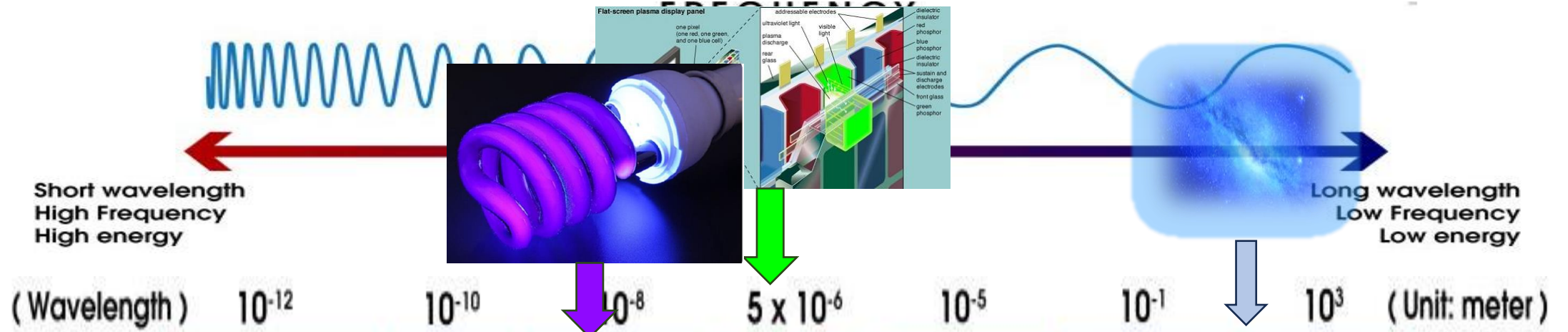


Фемтосекундні лазери створюють тривимірні плазмові дисплеї, до яких можна торкатися.



Плазмові дисплеї безпечні до торкання...

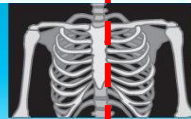
Спектр випромінювання



| | | | | | | |
|-----------|-------|-------------|---------|----------|-----------|-------|
| Gamma Ray | X-ray | Ultraviolet | Visible | Infrared | Microwave | Radio |
|-----------|-------|-------------|---------|----------|-----------|-------|

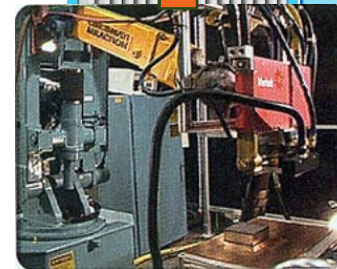


used in
medicine for
killing cancer
cells



used to view
inside of
bodies and
objects

Soft x-ray Extreme UV



*Інфрачервоні технологія
нанесення покриття на
основі плазмової лампи
at Oak Ridge Laboratory*



used in
cooking, radar,
telephone and
other signals



used to
broadcast
radio and
television

***Найактуальніші та найсучасніші
технології, які базуються на
плазмовому джерелі світла***

Soft x-ray та EUV технології

• Nanoscale EUV laser ablation mass spectrometry

EUV Microscopy: A Unique Approach and its characteristics

• Nanoscale imaging

• Nanoscale defect-free pattern

• Time Resolved Fourier transform

Table-top soft X-ray laser in the laboratory

• Diagnostics of Dense Plasmas

• Nanolithography

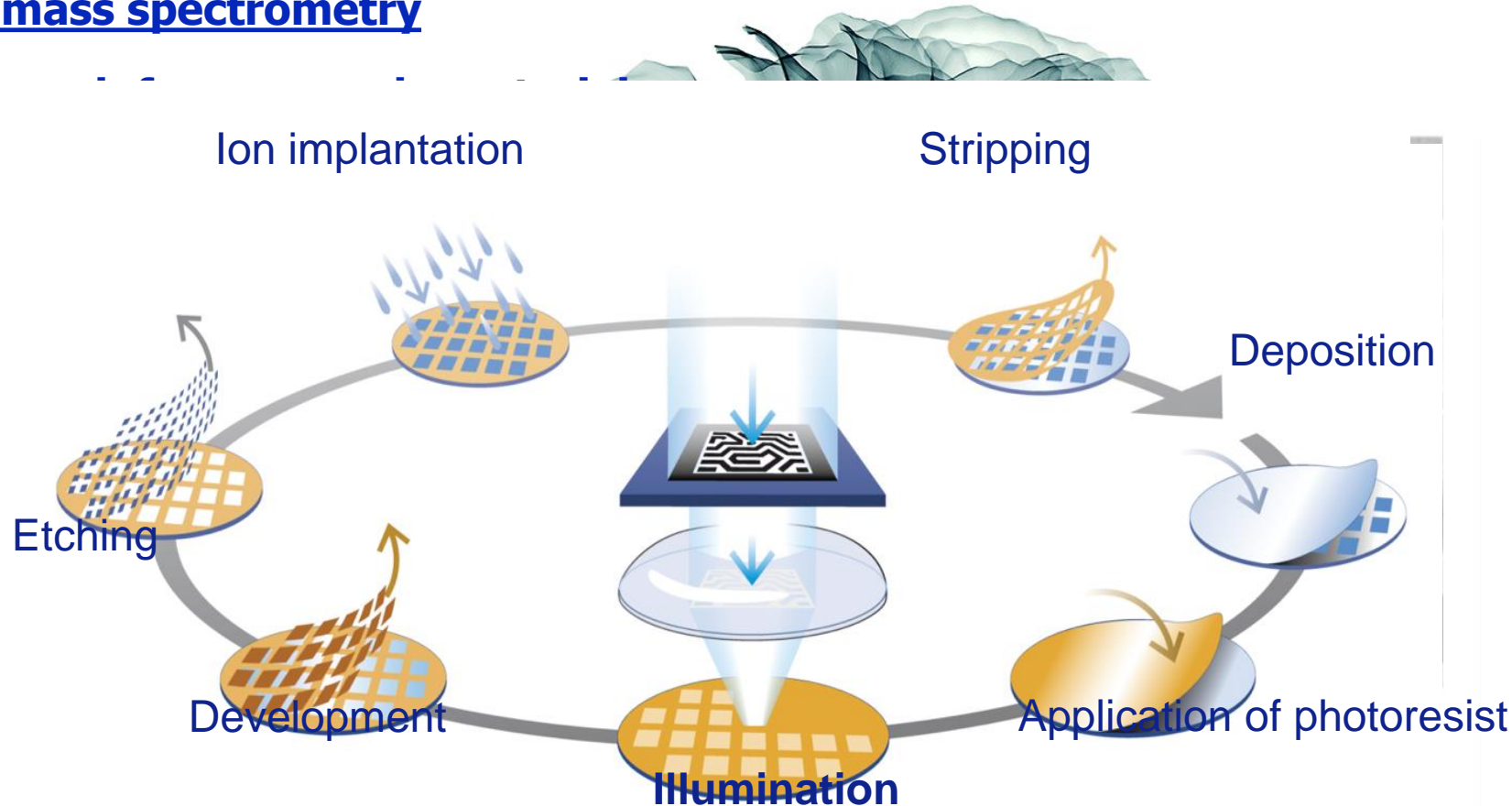


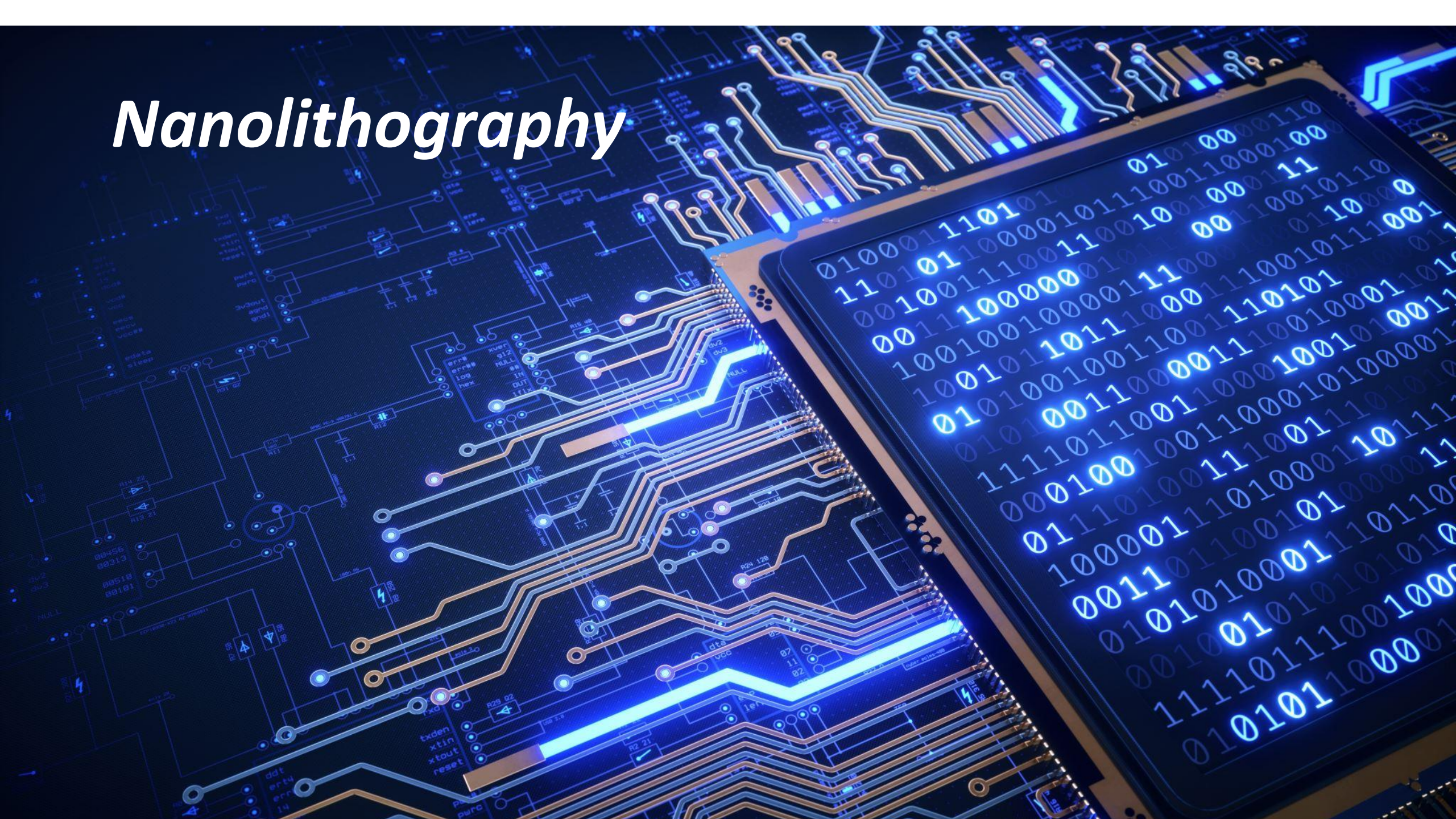
Fig. 5 Schematic of the light path of a typical CDI system that enables acquisition of a series of diffraction patterns from the sample that are reconstructed to produce the image. (Image courtesy of Kapteyn-Murnane Group, JILA, U. Colorado [2])



www.photonics.com © 2019 WILEY-VCH Verlag GmbH & Co. KGaA, Weinheim

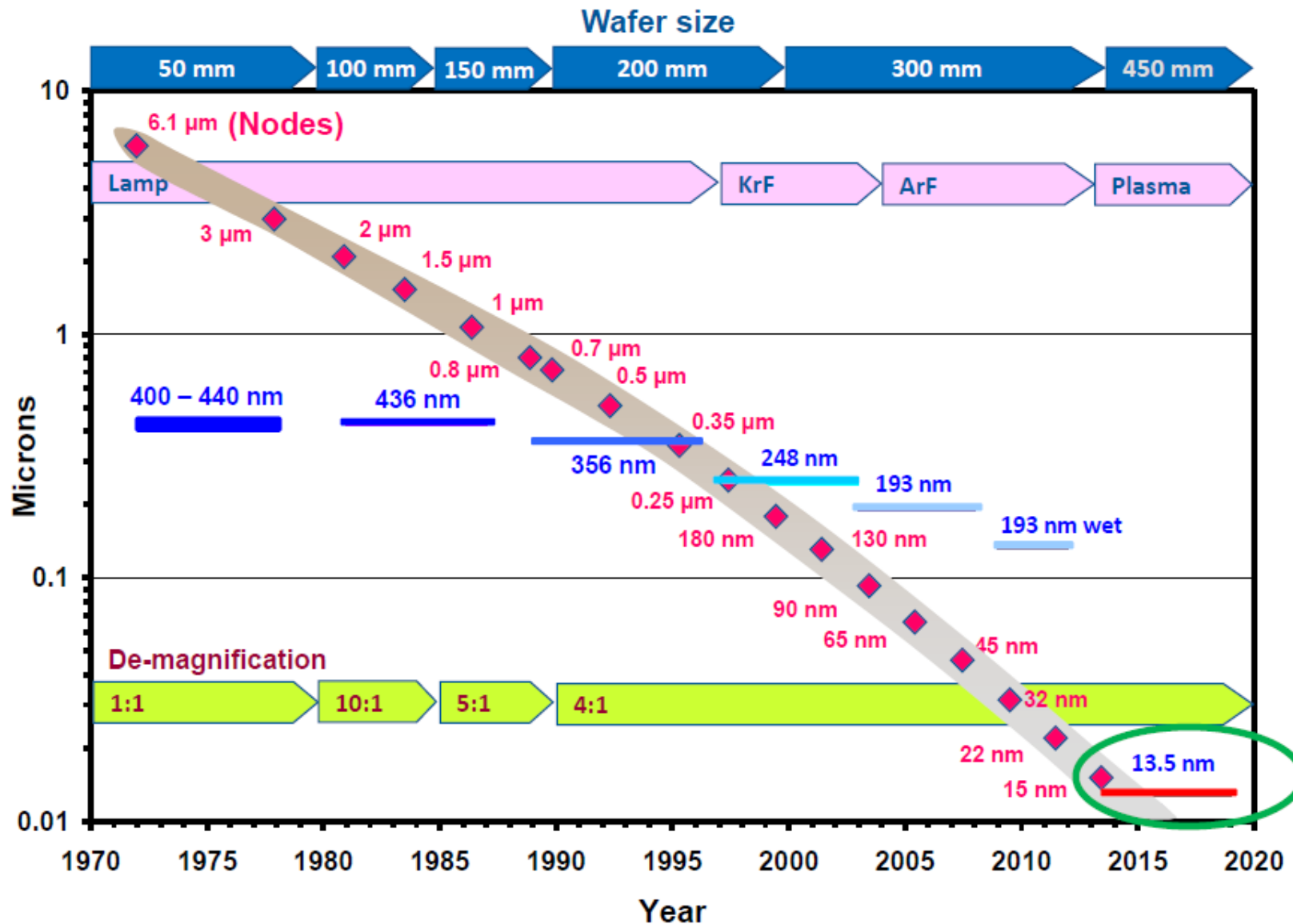
patterns. The resolution is $\lambda = 46.9 \text{ nm}$ промінь фокусується в точку діаметром 120 nm

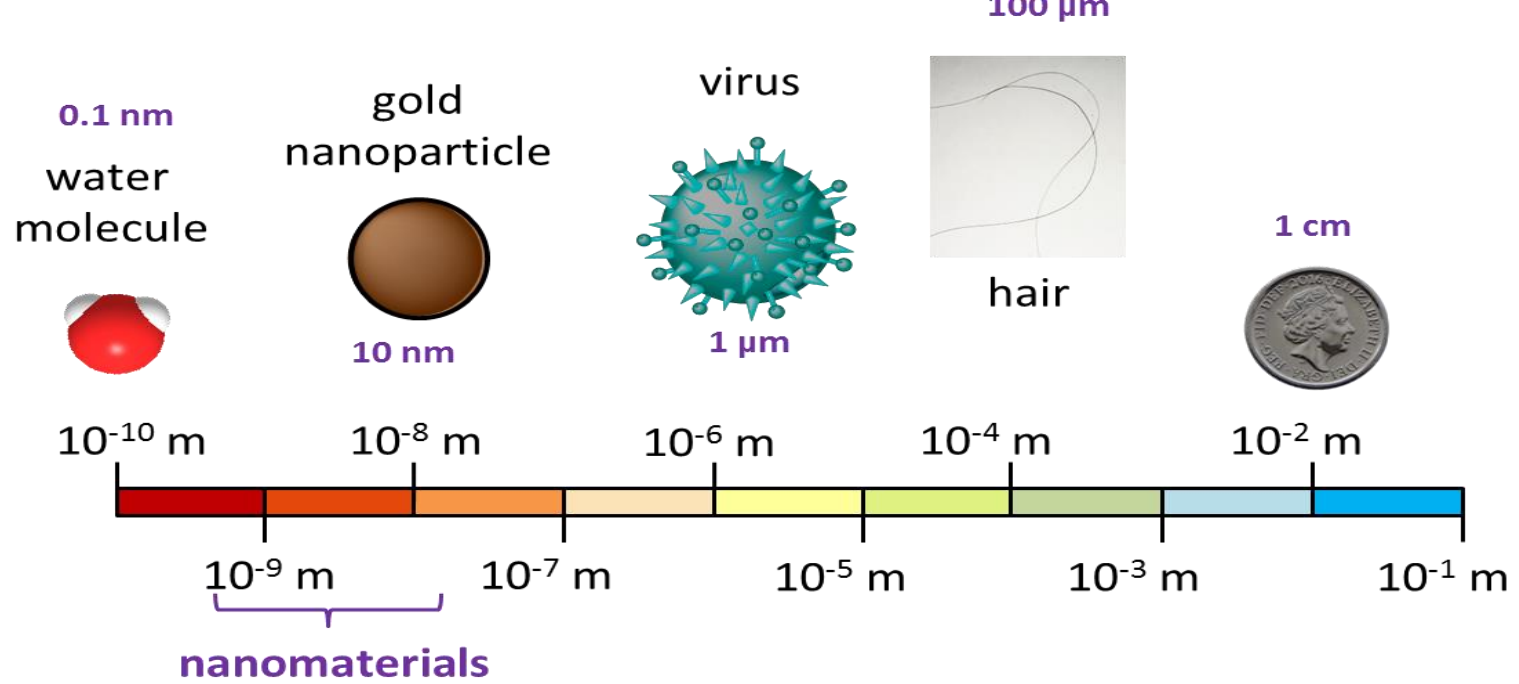
Nanolithography





Lithography Scaling

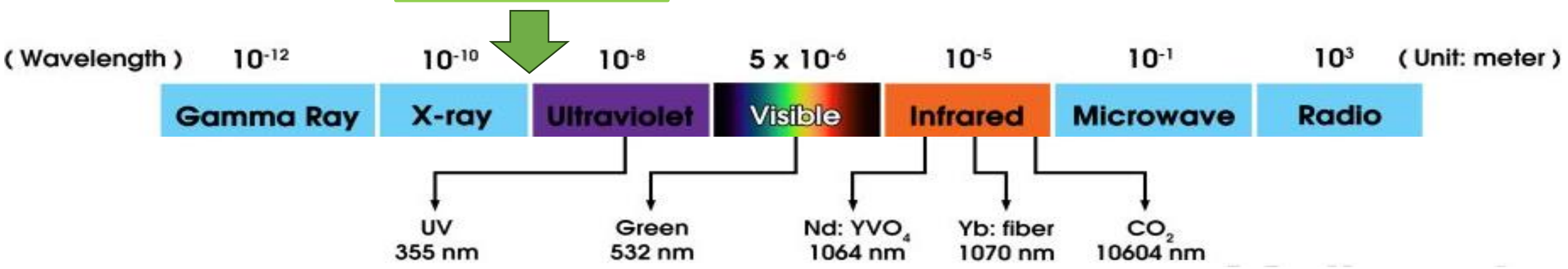




Критерій Реллея

$$\Delta x \sim \lambda / NA$$

Плазмові джерела



Джерела ЕУФ та м'якого рентгену 100нм....0.1нм

Когерентні
Синхротронні кільцеві
прискорювачі



Теватрон, радіусом 6,3 км, штат Іллінойс.

Некогерентні

(всі інші)

Плазмові

Рекомбінація іонів

Ar^{+9} , Xe^{+10} , $Sn^{+8}-Sn^{+14}$, Mo^{+8}

Laser Produced Plasma

Discharge Produced Plasma:

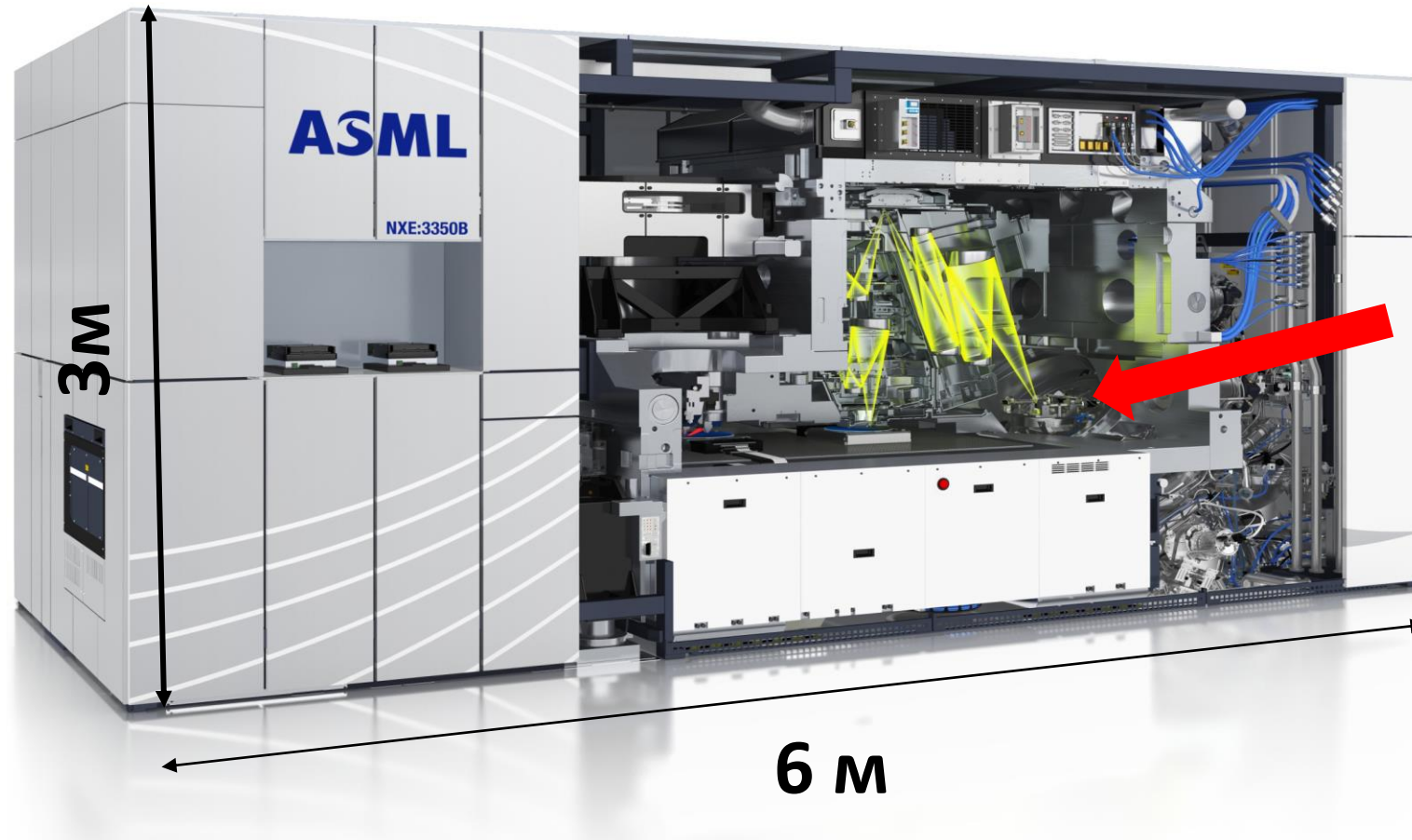
-Капілярні розряди
(Capillary discharge)

-Сильнострумові діодні розряди
(High-current Diode discharge)

Laser Produced Plasma

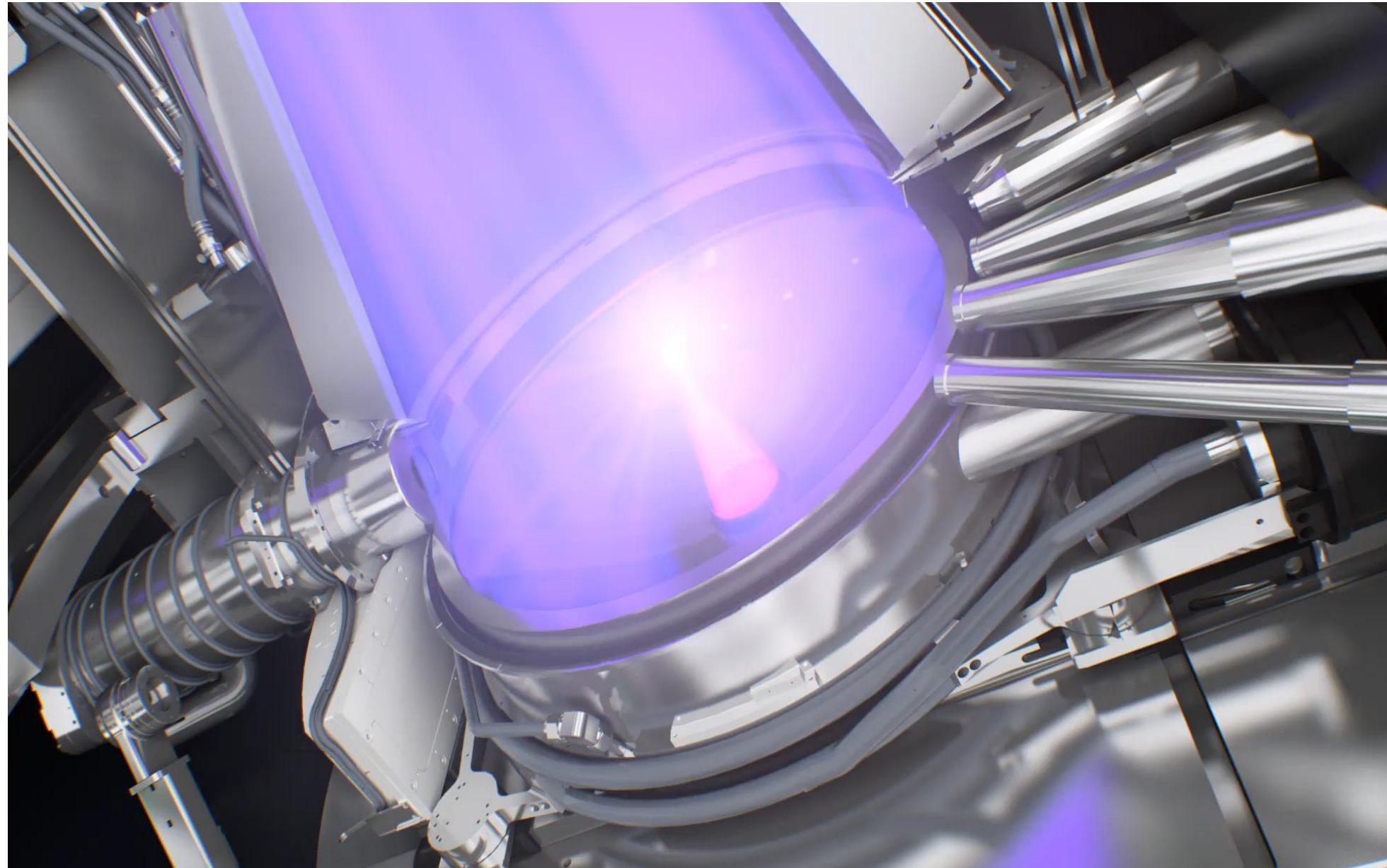


Laser Produced Plasma EUV Source





EUV Generation For Nanolithography





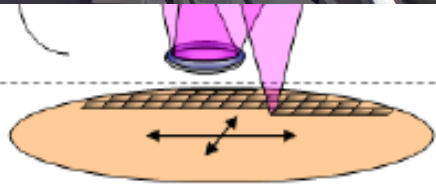
tem



on:
its ?

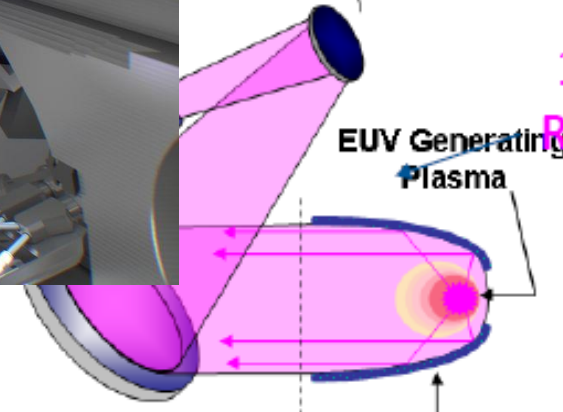
ator Optics

vacuum environments



300 mm Wafer

Vacuum Isolation:
Illuminator / EUV Source



13.5 nm
Radiation

EUV Generating
Plasma

EUV Source
Collector

- All Reflective Optics
- Optical train is in a vacuum

Яка довжина хвилі?

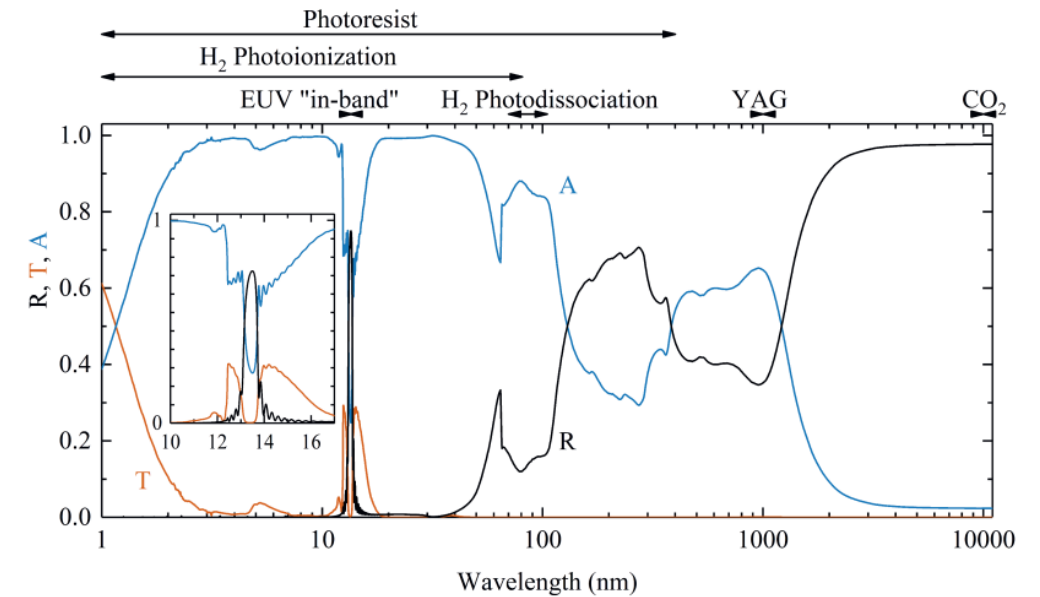
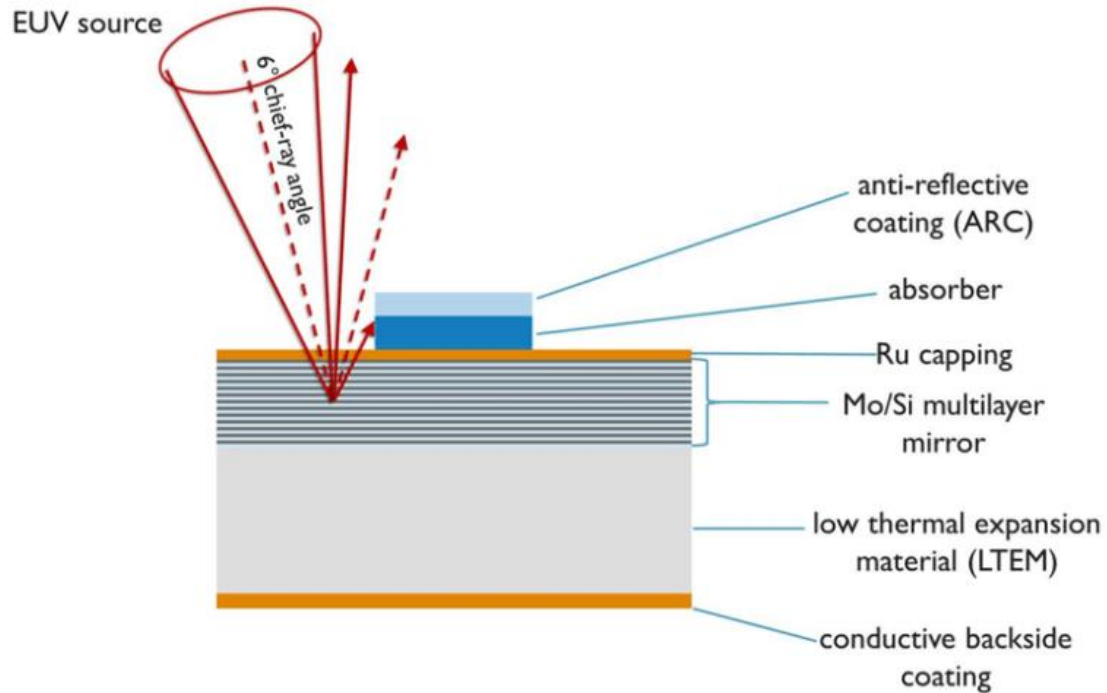


Figure 1.1: Calculated reflectance (R), transmission (T), and absorbance (A) of a 50-period Mo/Si multilayer mirror. The relevant physical phenomena at different wavelength bands are also indicated at the top (see main text).

13nm ±2%

Xe⁺¹⁰

Sn⁺⁸....Sn⁺¹⁴



ADVANCED RESEARCH CENTER FOR NANOLITHOGRAPHY

SOURCE

Oscar Versolato

METROLOGY

Stefan Witte

MATERIALS

R. Bliem a.i.

EUV Plasma Processes

Oscar Versolato

EUV Generation & Imaging

Stefan Witte & Kjeld Elkema

Materials & Surface Science for EUV Lithography

Roland Bliem

Plasma Theory & Modeling

John Sheil

Light-Matter Interaction

Paul Planken

Contact Dynamics

Steve Franklin & Bart Weber

Ions Interaction

Ronnie Hoekstra

Computational Imaging

Arie den Boef

Materials Theory & Modeling

Emilia Olsson

High-Harmonic Generation and EUV Science

Peter Kraus

Nanoscale Imaging & Metrology

Lyuba Amitonova

INTEGRATION

Wim van der Zande a.i. (ARC NL), Marjan Fretz (ARC NL), Maarten Voncken (ASML)

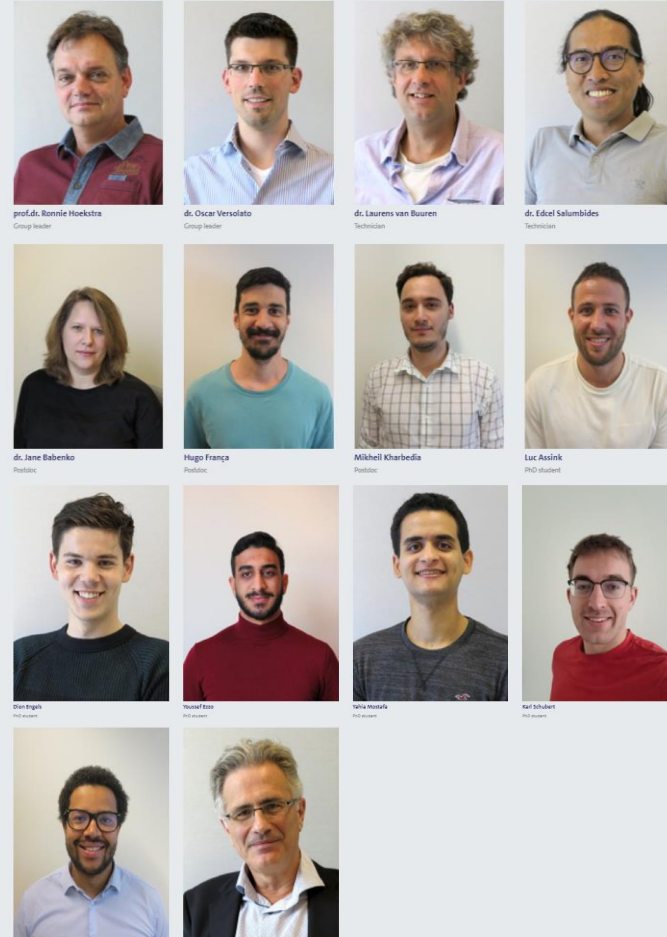
ARC NL

Science with mission...

EUV plasma source group

ARC NL Mission Research Career More Directory

Group Members



prof.dr. Ronnie Hoekstra
Group leader
 dr. Oscar Versolato
Group leader
 dr. Laurens van Buuren
Technician
 dr. Edcel Sahmubides
Technician
 dr. Jane Babenko
Postdoc
 Hugo Francis
Postdoc
 Mikhel Kharbedia
Postdoc
 Luc Assink
PhD student
 Peter English
PhD student
 Noval Feroz
PhD student
 Vahid Nozari
PhD student
 Karl Schuck
PhD student
 Florian Oomen
PhD student
 prof. Wim Schaafsma
Group member

Latest Publications

[View more publications](#)

J. P. Babinka, Efficient EUV Light Plasma Sources Driven by a 2-µm-Wavelength Laser, *VU University Amsterdam*, 2023-10-02

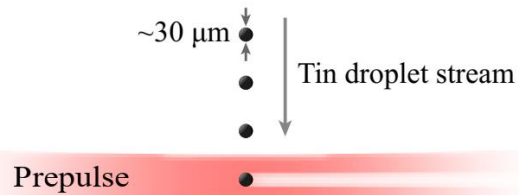
J. Sheil, J. Colgan and O.D. Versolato, Atomic Origins of EUV Light in Photon Sources for Lithography and Metrology, *V. Babitski, SPIE Press, Bellingham, Washington, SPIE*, 2023, pp. 111-148

V. Moshafa, Z. Boucra, I. Eyles, I. Babinka, W.M.G. Ubachs, O.D. Versolato and M. Szymrak, Extreme ultraviolet broadband imaging spectrometer using dispersion-matched wave plates, *Opt. Lett.* **48**, 162, 4291-4293 (2023)

J. P. Babinka, A. Lankwijk, R. Hoekstra, J. Sheil and O.D. Versolato, Dependence of ion charge-energy emission from Nd:YAG laser-produced plasma on laser intensity in the EUV emission wavelength range, *Phys. Plasmas* **30**, 052307, 1-6 (2023)



ARCNL Source Research: physics challenges



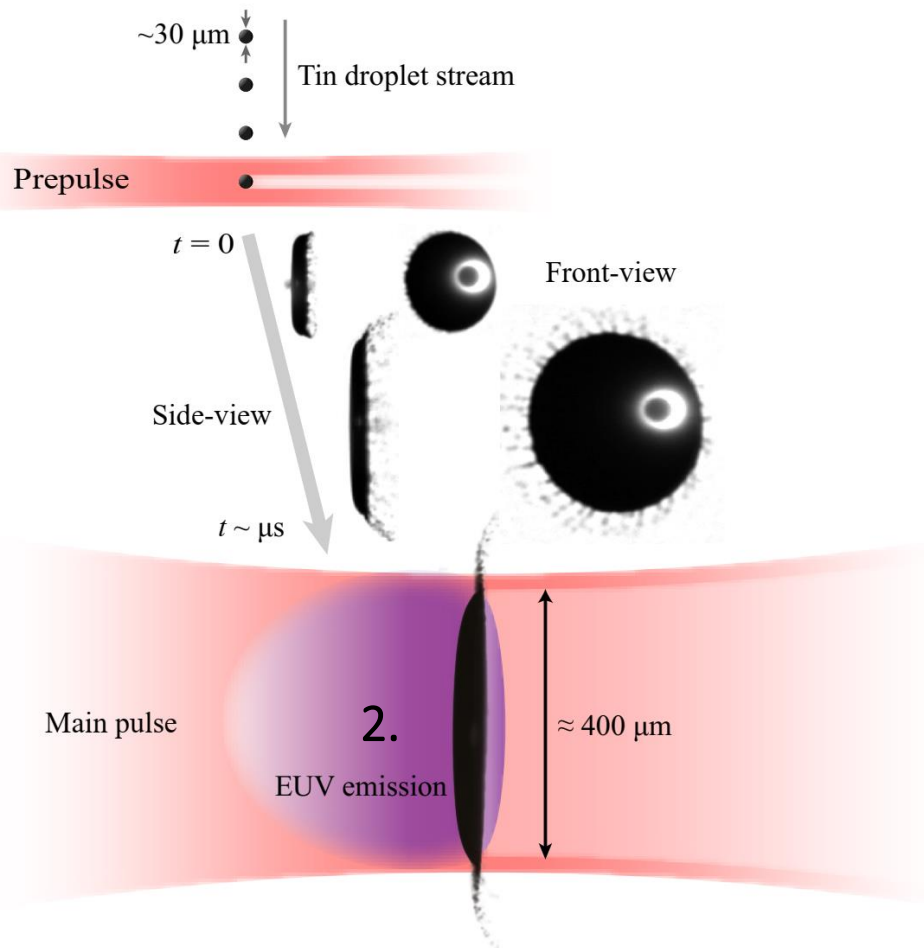
1.

1. Understand exploding tin microdroplets
 - What determines deformation and fragmentation?
2. Key insights to enable source predictive modeling
 - What emits that EUV light?
3. Push the fundamental limits of the conversion efficiency
 - What sets the fundamental limit?
4. Control expansion dynamics of laser-produced plasma
 - What is the cause of the ion energy distribution, how can it be controlled, and what does it cause?

A.L. Klein, J. Fluid Mech. **893**, 1 (2020); B. Liu, et al., Phys. Rev. Applied **13**, 024035 (2020) and Phys. Rev. Fluids **13**, 024035 (2022)
B. Liu and R. Meijer, et al., JAP **129**, 053302 (2021); T. de Faria Pinto et al., Appl. Phys. A **127** (2021);
R. Meijer et al., Phys. Rev. Applied **16**, 024026 (2021) ; J. Hernandez-Rueda et al., Phys. Rev. Res. **4**, 013142 (2022)



ARCNL Source Research: physics challenges



1. Understand exploding tin microdroplets
 - What determines deformation and fragmentation?
2. Key insights to enable source predictive modeling
 - What emits that EUV light?
3. Push the fundamental limits of the conversion efficiency
 - What sets the fundamental limit?
4. Control expansion dynamics of laser-produced plasma
 - What is the cause of the ion energy distribution, how can it be controlled, and what does it cause?

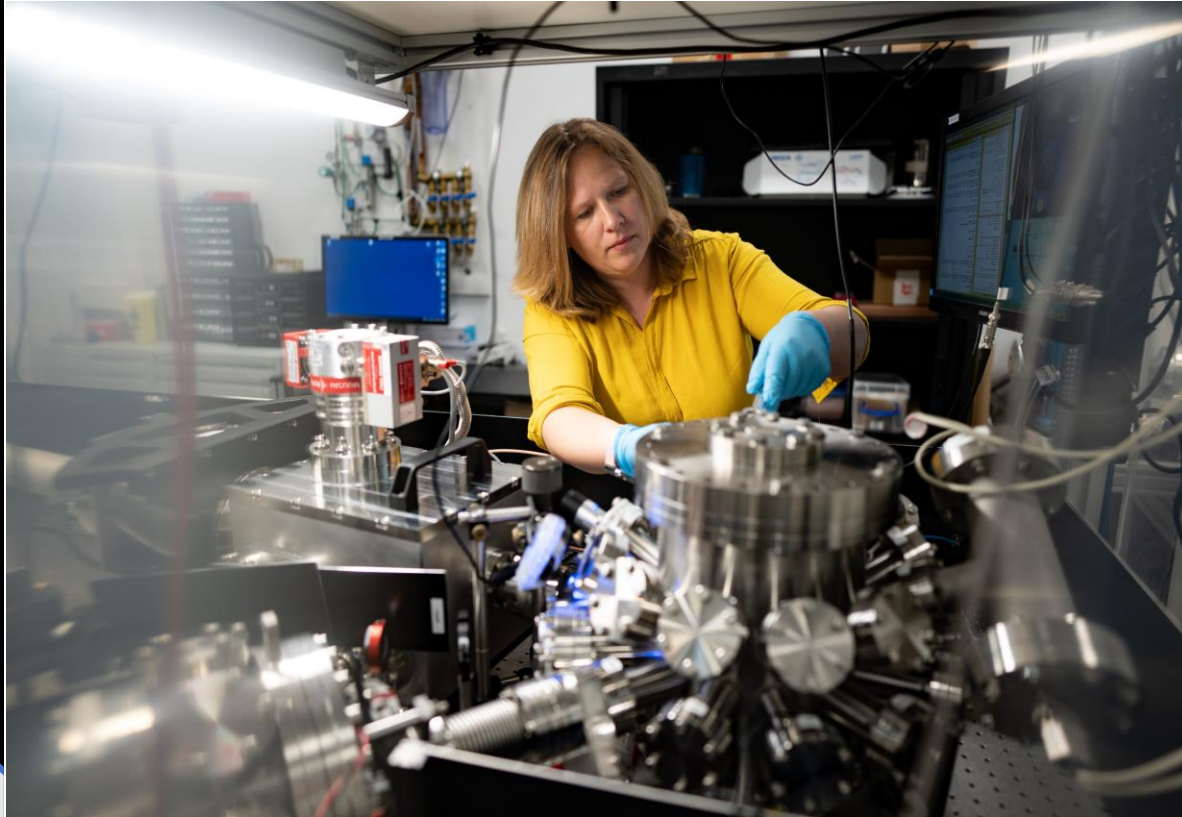
J. Scheers, et al., PRE **102**, 012304 (2020); J. Scheers, et al., PRA **101**, 062511 (2020);

Z. Bouza and J. Scheers, et al., J. Phys. B **53**, 195001 (2020); F. Torretti, J. Sheil, et al., Nature Communications **11**, 2334 (2020);

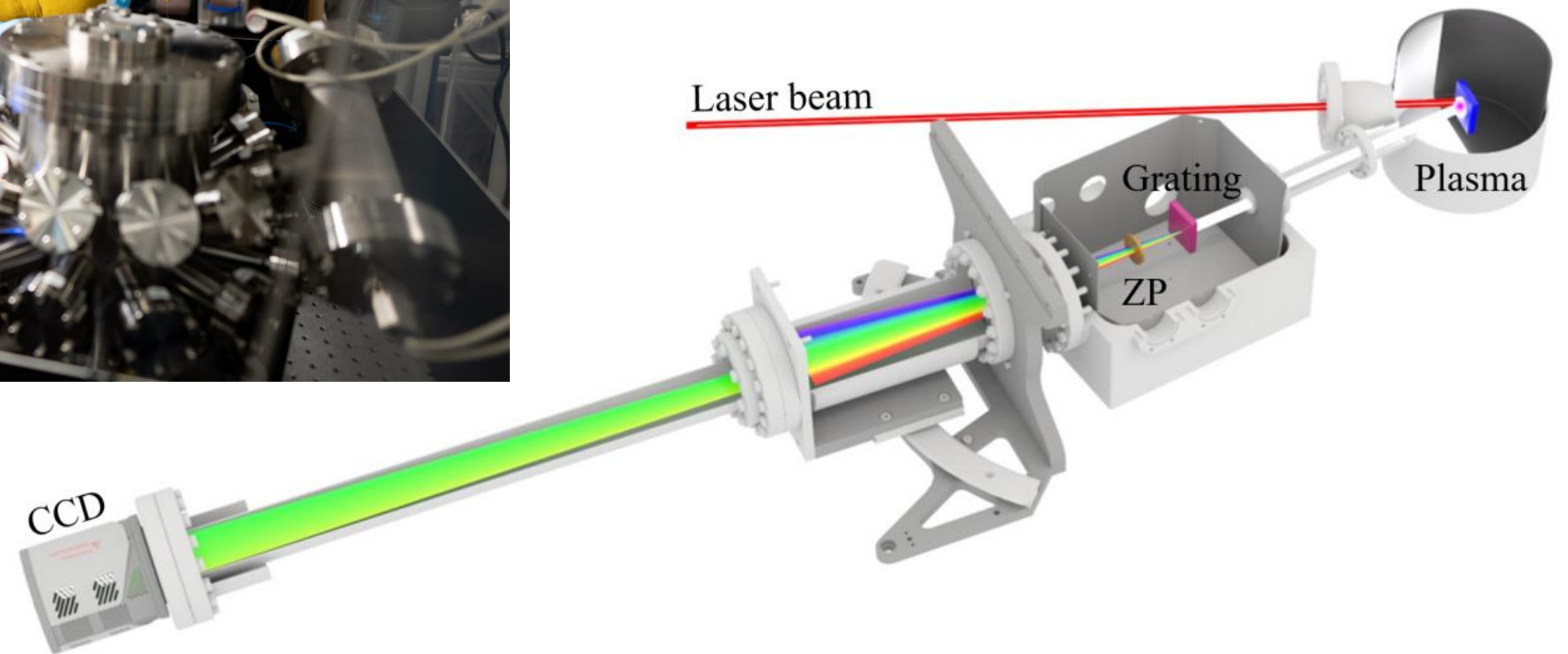
J. Sheil, et al., J. Phys. B. **54**, 035002 (2021); Z. Bouza et al., AIP Advances **11**, 125003 (2021)

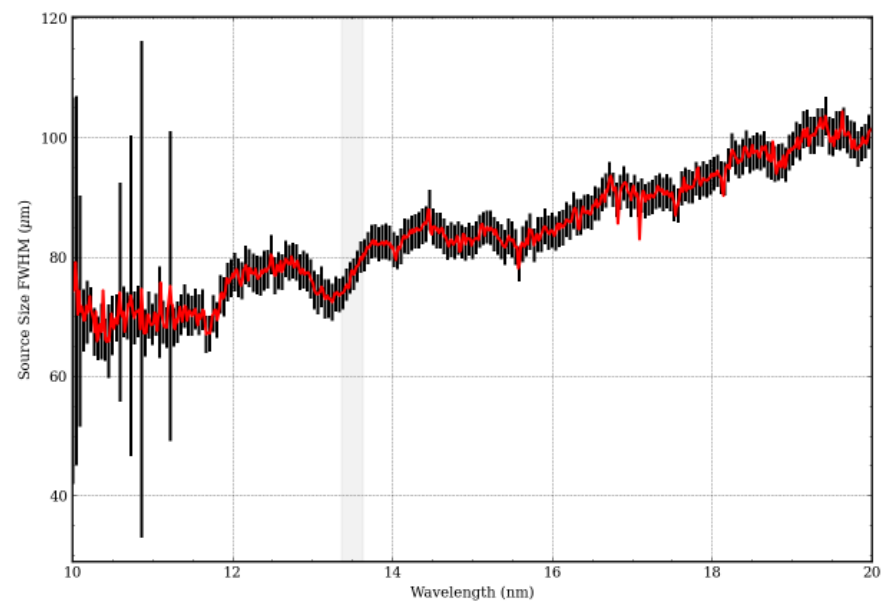
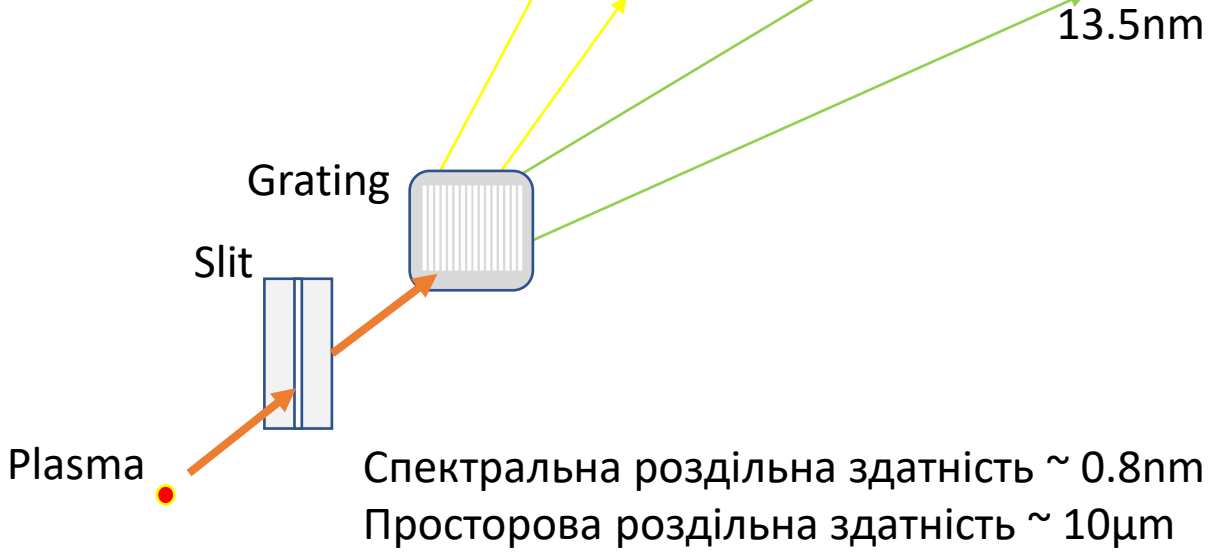
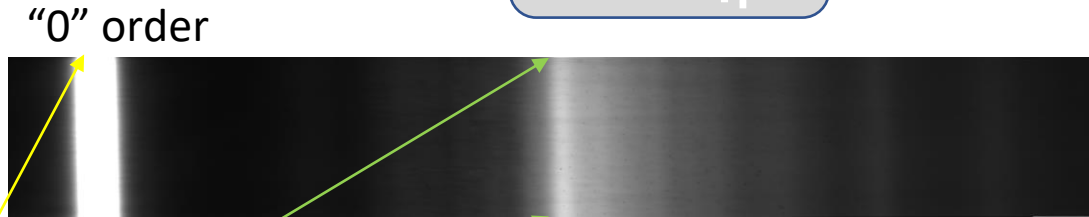
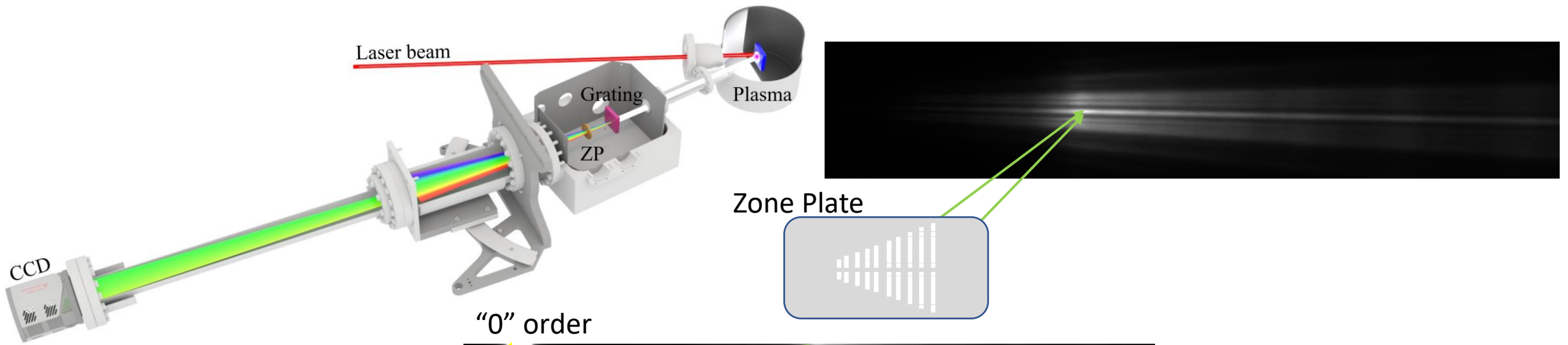


Мій вклад...



ImSpec STAR *Imaging Spectroscopy* *Sn Target A Radiation*







Results – Record CE for 2 μm Main-pulse [flat-top]

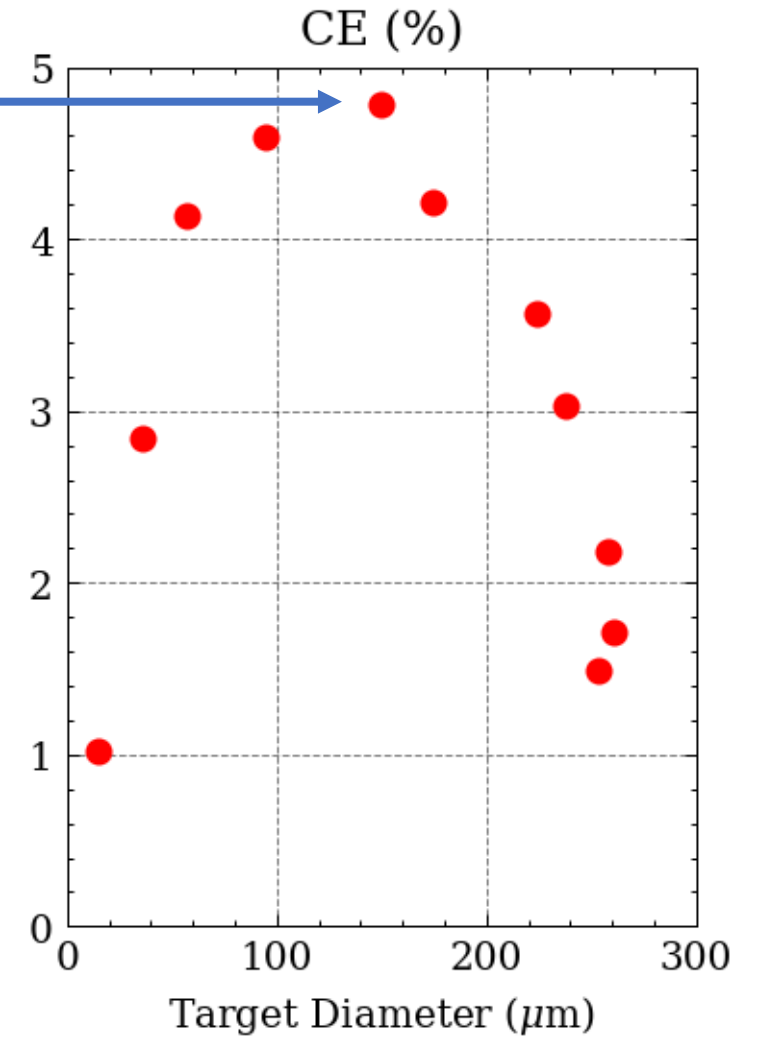


2013
NXE:3350C
 Resolution = 16+ nm
 NA = 0.32, OAI
 Overlay < 3 nm
 Throughput 150 WPH
 @ 15mJ/cm2
 >550W

$$CE = \frac{E_{2\%EUV,2\pi}}{E_{laser}} = \frac{\text{[Graph of EUV pulse]} }{\text{[Graph of laser pulse]}}$$

Maximum CE = 4.9 %
 (@ τ = 10 ns)

| Main-pulse (Laser) | CO ₂ | Tm:YLF (BAT) | Nd:YAG |
|----------------------|------------------|--------------|---------|
| Wavelength | 10.6 μm | 1.9 μm | 1 μm |
| max. CE | >5% ² | <u>5%</u> | 3% |
| Wall-plug efficiency | ~3% | ~15-20% | ~15-20% |

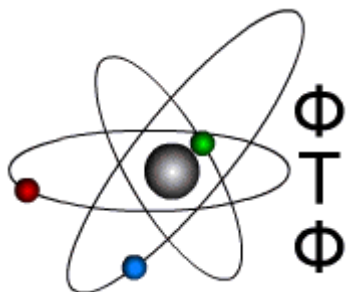


*Сильнострумові діодні розряди
(High-current Diode discharge)*

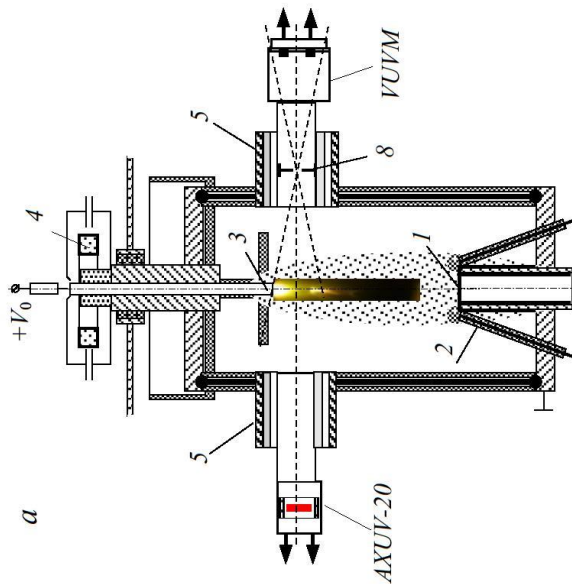


V.N. KARAZIN KHARKIV
NATIONAL UNIVERSITY

ЕУФ Джерело на базі розрядної плазми



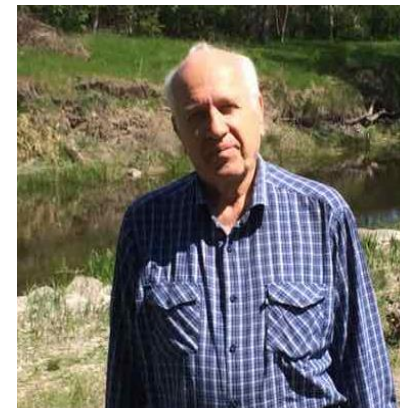
High-current Diode discharge EUV source



Целуйко О.Ф.



Бабенко Є.В.



Рябчиков Д.Л.



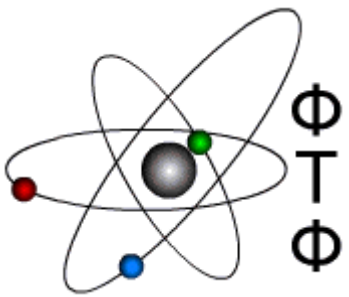
Гречко Я.О.



Середа І.М.

ЕУФ з сильнострумового діодного розряду

(High-current Diode discharge EUV source)

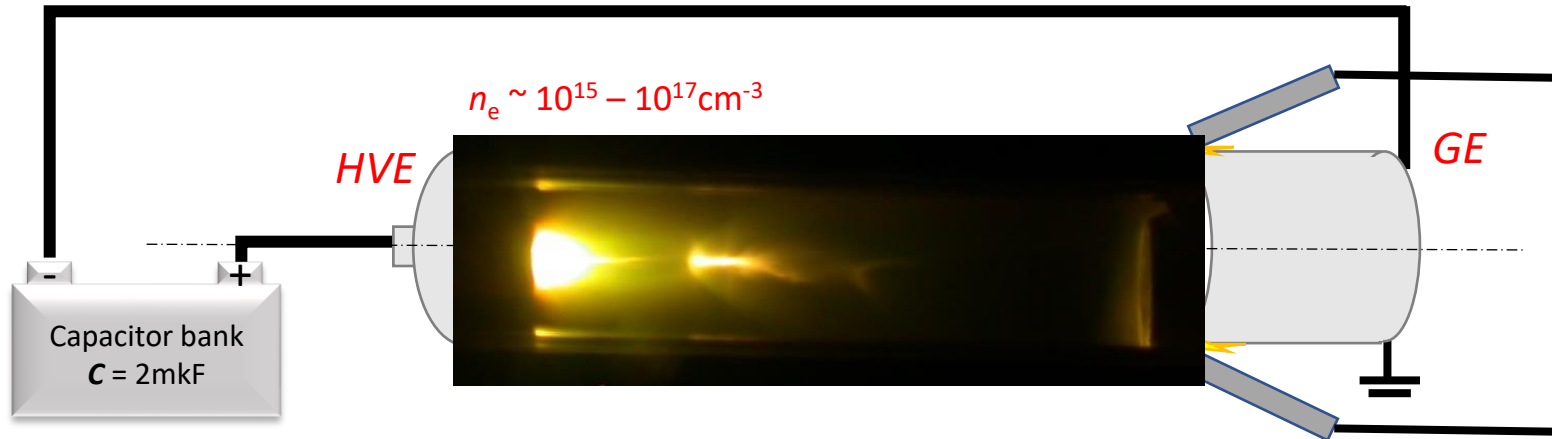


$$U_p \sim 5 - 13 \text{ kV}$$

$$I_{dis} \sim 10 - 35 \text{ kA}$$

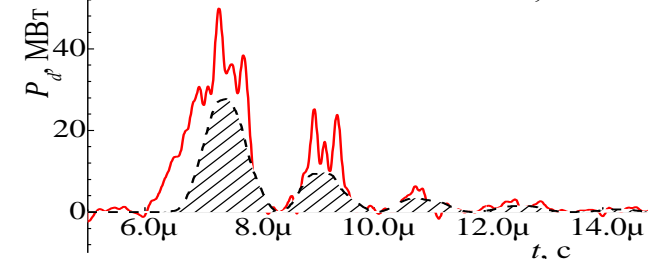
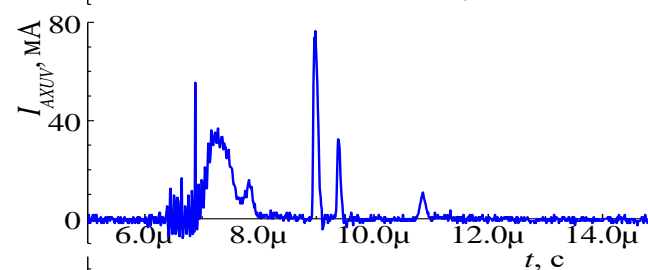
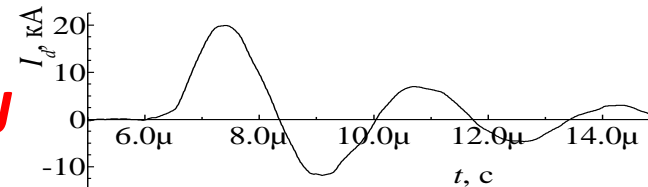
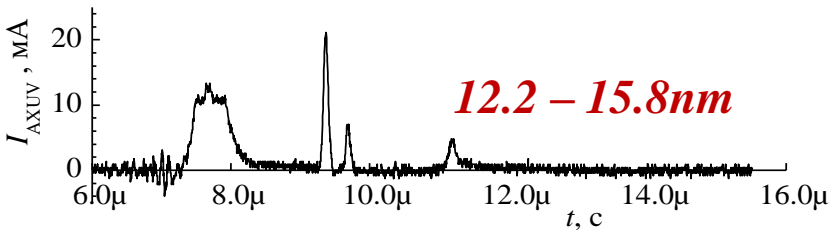
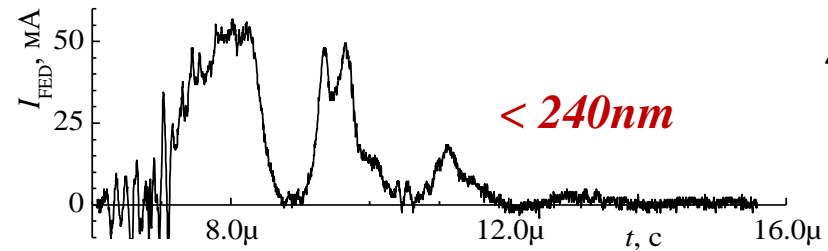
$$j_{dis} \sim 0.2 - 2 \text{ MA/cm}^2$$

$$t \sim 2 - 7 \text{ mks}$$



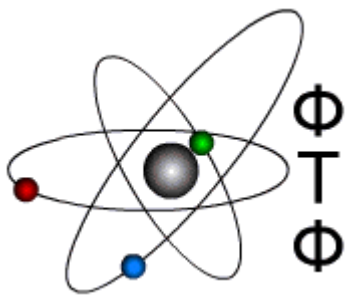
$$P_\lambda \sim \mathbf{1 \text{ MW!!!}}$$

At stored $W_0 \sim \mathbf{100 \text{ J}}$



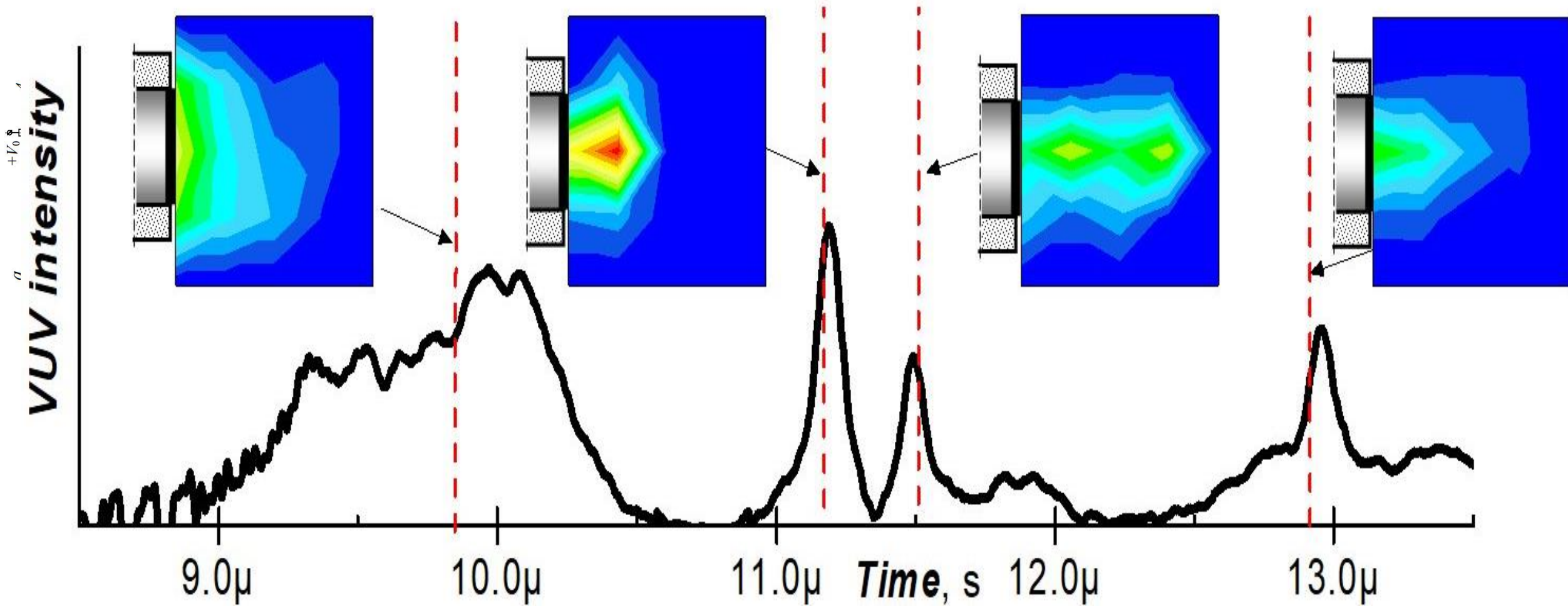
$$CE_w^{1h.p.} = \mathbf{0.26 \%}$$

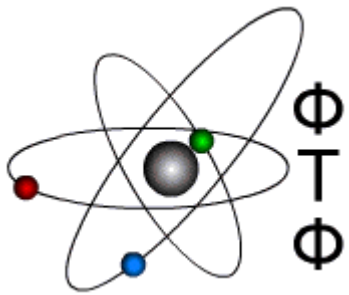
$$CE_{peak}^{2h.p.} = \mathbf{1.36 \%}$$



УФ матрица

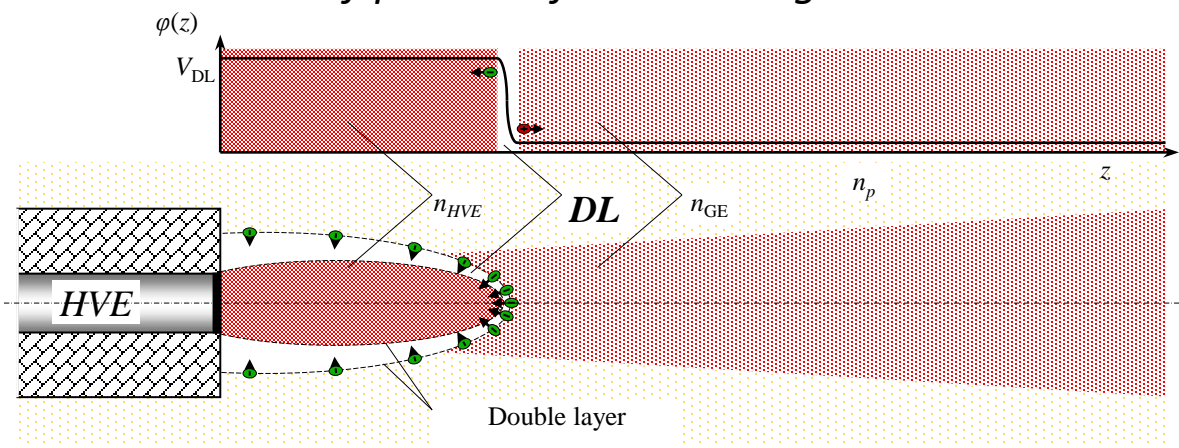
Time resolution **4 ns**



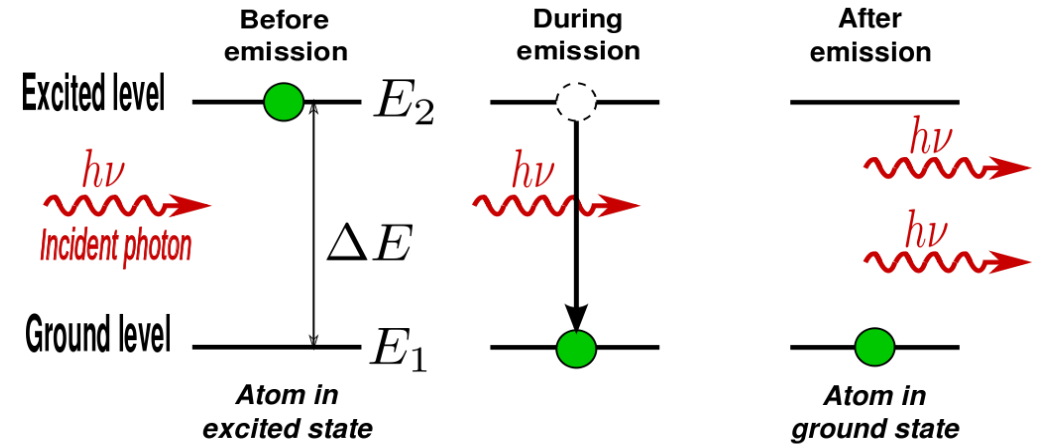
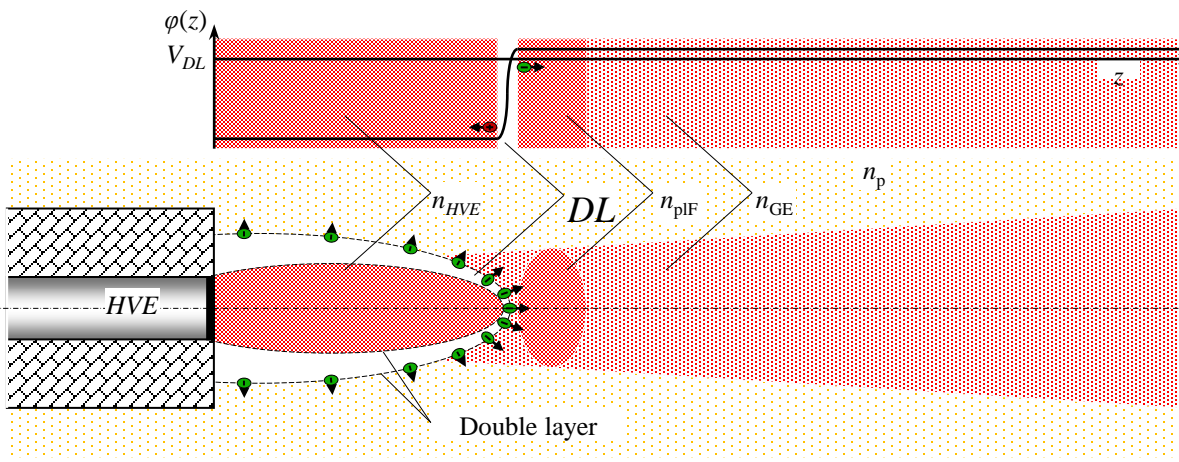


Подвійний шар об'ємного заряду

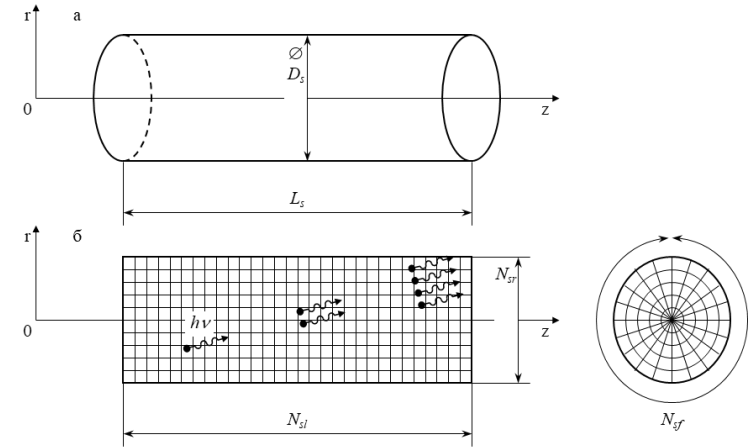
1st and 3rd half-periods of the discharge current oscillation



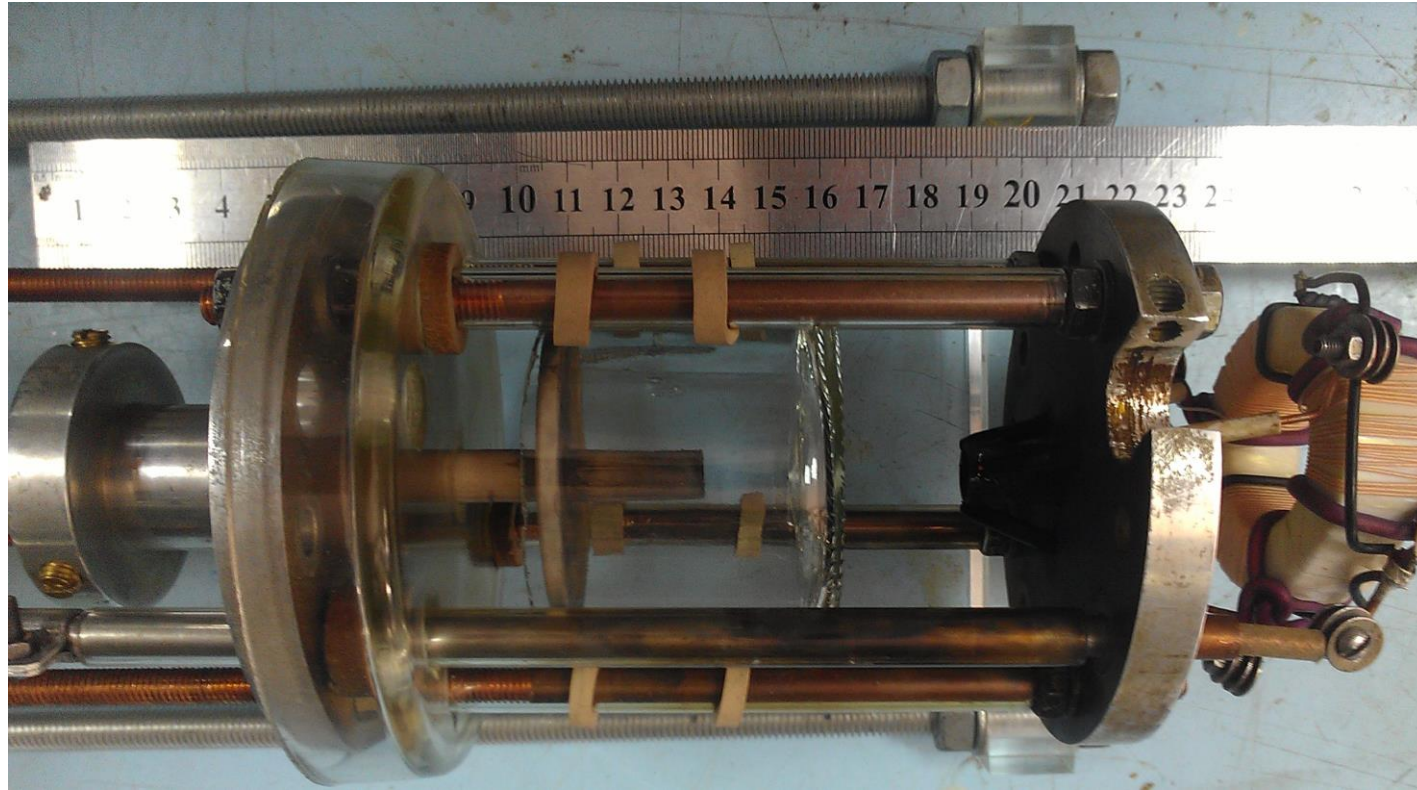
2nd and 4th half-periods of the discharge current oscillation



$$E_2 - E_1 = \Delta E = h\nu$$



Розрядна комірка



$$CE_{peak}^{2h.p.} = 1.36 \%$$

Перше українське
настільне ЕУФ джерело?

Дякую за увагу!!!